

КАТИОН-АНИОННЫЕ ВЗАИМОДЕЙСТВИЯ В РАСТВОРАХ  $[\text{Mo}_3\text{S}_7(\text{Et}_2\text{dtc})_3](\text{Et}_2\text{dtc})$ А.Л. Гущин<sup>1,2</sup>, М.Р. Рыжиков<sup>1,2</sup>, Н.Б. Компаньков<sup>1</sup>, Н.К. Мороз<sup>1</sup>, М.Н. Соколов<sup>1,2</sup><sup>1</sup>Институт неорганической химии им. А.В. Николаева СО РАН, Новосибирск, Россия

E-mail: gushchin@niic.nsc.ru

<sup>2</sup>Новосибирский национальный исследовательский государственный университет, Россия

Статья поступила 18 сентября 2015 г.

Проведены квантово-химические расчеты для комплекса  $[\text{Mo}_3\text{S}_7(\text{Et}_2\text{dtc})_3](\text{Et}_2\text{dtc})$  в различных растворителях. Показано, что энергия связи кластерного катиона  $[\text{Mo}_3\text{S}_7(\text{Et}_2\text{dtc})_3]^+$  и внешнесферного аниона  $(\text{Et}_2\text{dtc})^-$  экспоненциально падает с ростом диэлектрической проницаемости растворителя. С использованием метода DOSY ЯМР обнаружено, что в хлороформе катионный и анионный фрагменты комплекса образуют ассоциат (контактную ионную пару), в то время как в сильнополярном диметилсульфоксида эти фрагменты перемещаются независимо друг от друга.

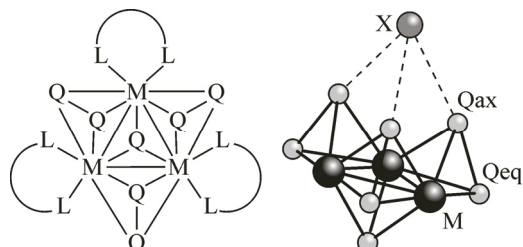
DOI: 10.15372/JSC20160219

**Ключевые слова:** кластерный комплекс, молибден, дитиокарбамат, квантово-химические расчеты, DOSY ЯМР.

## ВВЕДЕНИЕ

Для молибдена и вольфрама в степени окисления IV характерно образование халькогенидных кластеров с ядром  $\{\text{M}_3\text{Q}_7\}^{4+}$  ( $\text{M} = \text{Mo}, \text{W}$ ;  $\text{Q} = \text{S}, \text{Se}, \text{Te}$ ) [1—3]. К настоящему времени насчитывается более 150 только структурно охарактеризованных кластерных комплексов этого типа. Некоторые из них представляют интерес для получения новых функциональных материалов [2, 4—6]. Кластерное ядро  $\{\text{M}_3\text{Q}_7\}^{4+}$  устроено следующим образом (рис. 1). Дихалькогенидные мостиковые лиганды  $\text{Q}_2^{2-}$  располагаются над сторонами треугольника  $\text{M}_3$  и координированы к атомам металла асимметрично, при этом три экваториальных атома  $\text{Q}$  располагаются вблизи плоскости треугольного металлоострова ( $\text{Q}_{eq}$ ), а три аксиальных ( $\text{Q}_{ax}$ ) выходят из этой плоскости в сторону, противоположную  $\mu_3\text{-Q}$ . Эти аксиальные атомы образуют укороченные контакты с другими атомами ( $3\text{Q}_{ax}\dots\text{X}$ , где  $\text{X} = \text{O}, \text{N}$ , галоген, халькоген) во многих кристаллических структурах, что приводит к образованию так называемых кластерных ассоциатов (см. рис. 1) [3]. Помимо этого, каждый атом металла имеет два координационных места, и в случае однозарядного бидентатного лиганда, например, дитиокарбамата ( $\text{R}_2\text{dtc}$ ), образуются

Рис. 1. Строение кластерного комплекса  $[\text{M}_3\text{Q}_7(LL)_3]$  ( $\text{M} = \text{Mo}, \text{W}$ ;  $\text{Q} = \text{S}, \text{Se}, \text{Te}$ ;  $\text{LL}$  = бидентатный хелатный лиганд) (слева); образование кластерного ассоциата  $\{[\text{M}_3\text{Q}_7(LL)_3]\text{X}\}$  ( $\text{X} = \text{O}, \text{N}$ , галоген, халькоген; лиганды  $\text{LL}$  не показаны для ясности) (справа)



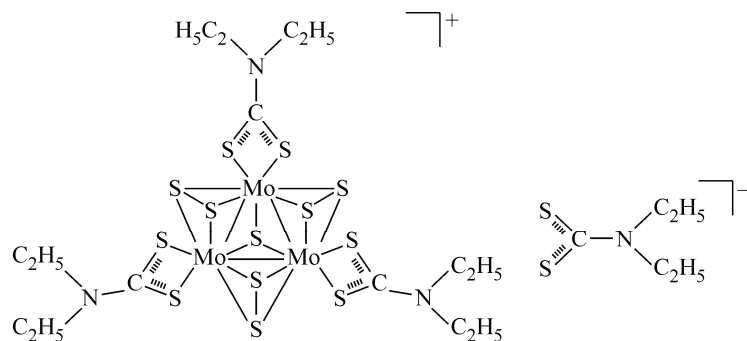


Рис. 2. Строение дитиокарбаматного комплекса  $[\text{Mo}_3\text{S}_7(\text{Et}_2\text{dtc})_3](\text{Et}_2\text{dtc})$

катионные комплексы типа  $[\text{M}_3\text{Q}_7(\text{R}_2\text{dtc})_3]\text{X}$  ( $\text{X} = \text{Cl}, \text{Br}, \text{R}_2\text{dtc}$ ), для которых такие взаимодействия были впервые изучены не только методом РСА в твердом теле, но и путем квантово-химических расчетов [ 7 ].

О сохранении таких ассоциатов даже в газовой фазе могут свидетельствовать данные электроспрей-масс-спектров. Мягкий способ ионизации растворов, каким является ионизация распылением в электрическом поле, во многих случаях позволяет зафиксировать сигналы от ионных ассоциатов в газовой фазе. К примеру, в масс-спектрах гетеролептических комплексов с дииминами  $\text{Bu}_4\text{N}\{[\text{Mo}_3\text{S}_7\text{X}_4(\text{диимин})]\text{X}\}$  ( $\text{X} = \text{Cl}, \text{Br}$ ) проявляются сигналы, отвечающие анионным ассоциатам  $\{[\text{Mo}_3\text{S}_7\text{X}_4(\text{диимин})]\text{X}\}^-$  [ 6 ]. Накопленный объем информации о наличии кластерных ассоциатов, построенных на укороченных контактах  $\text{Q}_{\text{ax}} \dots \text{X}$ , в твердой и газовой фазах контрастирует с практически полным отсутствием информации об устойчивости таких ассоциатов в растворах.

В данной работе с использованием методов ЯМР и квантовой химии исследовано поведение в органических растворителях дитиокарбаматного комплекса  $[\text{Mo}_3\text{S}_7(\text{Et}_2\text{dtc})_3](\text{Et}_2\text{dtc})$  (рис. 2) [ 8 ], в котором ионы  $(\text{Et}_2\text{dtc})^-$  играют роль как внешнесферного аниона, так и терминальных бидентатных лигандов кластерного катиона.

В твердой фазе катион  $[\text{Mo}_3\text{S}_7(\text{Et}_2\text{dtc})_3]^+$  и анион  $(\text{Et}_2\text{dtc})^-$  образуют компактную ионную пару с укороченными расстояниями  $\text{S}_{\text{ax}} \dots \text{S}_{\text{анион}} \approx 3,54 \text{ \AA}$  [ 9 ]. При растворении комплекса в диметилформамиде образуется электролит 1:1 [ 10 ]. Однако этот факт не исключает возможности сохранения в растворах указанных ионных пар, особенно в менее полярных растворителях. Одним из наиболее эффективных способов обнаружения ионных пар в растворах является методика DOSY (diffusion ordered spectroscopy) ЯМР, позволяющая детектировать согласованность диффузионной подвижности отдельных фрагментов ассоциата [ 11, 12 ]. В работе эта методика была применена к рассматриваемому комплексу; было изучено его поведение в диметилсульфоксида (ДМСО) с дипольным моментом 4,3 Д и сравнительно низкополярном хлороформе (дипольный момент 1,15 Д).

## МЕТОДЫ И ПОДХОДЫ

Поликристаллический  $[\text{Mo}_3\text{S}_7(\text{Et}_2\text{dtc})_3](\text{Et}_2\text{dtc})$  был синтезирован по методике, описанной в работе [ 8 ], и идентифицирован порошковой рентгеновской дифракцией. Исследовали растворы комплекса в  $\text{DMSO}-d_6$  и  $\text{CDCl}_3$ .

**Спектры ЯМР**  $^1\text{H}$  регистрировали на спектрометре Bruker AVANCE III 500 с рабочей частотой для протонов 500 МГц с использованием 5-миллиметрового датчика PABBO BB-1H/D Z-GRD. Изучение диффузионной подвижности проведено при 27 °C. Для определения коэффициентов диффузии ( $D$ ) использовали радиочастотные импульсные последовательности STEBPGP1S с 32 отличающимися по амплитуде биполярными импульсными градиентами магнитного поля. Для каждого значения градиента проводили усреднение сигналов ЯМР по 16 измерениям (время между измерениями составляло 15 с). Длительность импульсного градиента  $\delta$  и время эволюции системы между импульсами (время диффузии)  $\Delta$  составляли:  $\delta = 4 \text{ мс}$ ,  $\Delta =$

$= 50$  мс для ДМСО и  $\delta = 2,2$  мс,  $\Delta = 150$  мс для  $\text{CDCl}_3$ . Значения  $D$  получали при помощи программного пакета Bruker Dynamics Center.

**Квантово-химические расчеты** для  $[\text{Mo}_3\text{S}_7(\text{Et}_2\text{dtc})_3](\text{Et}_2\text{dtc})$  проведены методом теории функционала плотности DFT, реализованным в программном комплексе ADF2013 [13]. Оптимизацию геометрии комплекса проводили для вакуума. Использовали полноэлектронный базис TZ2P [14] и функционал плотности VWN+BP86 [15—17]. Для учета скалярных релятивистских эффектов использовали метод ZORA [18]. Константы магнитного экранирования ЯМР рассчитывали методом GIAO [19]. Энергии связывания комплекса, а также его катионного и анионного фрагментов в различных средах рассчитывали с использованием базиса TZP. Учет эффекта растворителя выполнен методом COSMO [20].

## РЕЗУЛЬТАТЫ И ИХ ОБСУЖДЕНИЕ

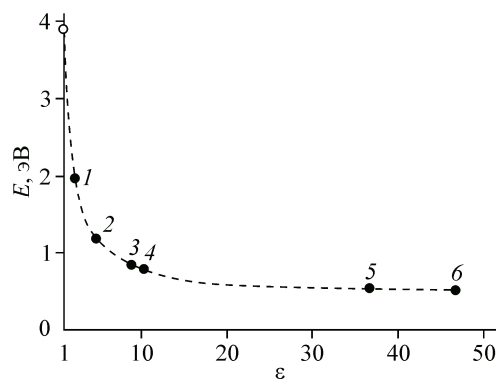
**Расчетная часть.** Оценки энергии связи кластерного катиона с внешнесферным анионом могут быть выполнены на основе соотношения:  $E = E^0 - E^+ - E^-$ , где  $E^0$ ,  $E^+$  и  $E^-$  — энергии связывания комплекса  $[\text{Mo}_3\text{S}_7(\text{Et}_2\text{dtc})_3](\text{Et}_2\text{dtc})$ , катиона  $[\text{Mo}_3\text{S}_7(\text{Et}_2\text{dtc})_3]^+$  и аниона  $(\text{Et}_2\text{dtc})^-$  соответственно. Значения всех энергий, рассчитанные для различных сред, приведены в табл. 1. Как следует из этих данных, энергия связи катионного и анионного фрагментов комплекса, находящегося в слабополярном хлороформе, уменьшается более чем в 3 раза по сравнению с вакуумом и почти в 8 раз в сильно полярном ДМСО. Можно видеть, что с увеличением диэлектрической проницаемости растворителя энергия взаимодействия между фрагментами уменьшается по экспоненциальному закону (рис. 3). При более точном расчете, в частности, с учетом атомных колебаний, возможно, что представленная на рис. 3 зависимость сместится в сторону более низких значений энергии связи. Однако существование рассматриваемых ассоциатов в слабополярных растворителях, таких как хлороформ и дихлорметан, на основании проведенных расчетов является вполне ожидаемым.

**Данные ЯМР.** Как видно из рис. 4, сигналы ЯМР  $^1\text{H}$  координированного и некоординированного  $(\text{Et}_2\text{dtc})^-$  для изучаемого комплекса заметно отличаются. В метиленовой области ( $-\text{CH}_2-$ ) спектры представлены хорошо разрешенными квадруплетами (1, 2, 3) с отношением интенсивностей 2:3:3. Химические сдвиги квадруплетов 2 и 3 близки к положениям квадруплетов (3,78 и 3,83 м.д.), известным для двух неэквивалентных этильных групп в дитиокарбаматных лигандах, координированных с атомами молибдена в асимметричном фрагменте  $\{\text{Mo}_3\text{S}_7\}^{4+}$  [10] (по расчетам методом DFT, ожидаемое отличие химических сдвигов этих квадруплетов составляет  $\approx 0,15$  м.д.). Соответственно, сдвинутые в сильное поле квадруплеты 1 с уверенностью могут быть отнесены к этильным группам внешнесферных анионов. Отсутствие заметного перекрывания резонансных линий  $\text{CH}_2$ -групп обеспечивает возможность применения методики DOSY для независимых измере-

Таблица 1  
Энергии  $E^+$ ,  $E^-$ ,  $E^0$  и  $E$  (в эВ) для разных сред

Среда	$E^+$	$E^-$	$E^0$	$E$
Вакуум	-349,54	-97,70	-451,14	-3,90
Бензол	-350,32	-99,15	-451,45	-1,98
Хлороформ	-350,65	-99,79	-451,63	-1,19
Дихлорметан	-350,79	-100,08	-451,71	-0,84
1,2-Дихлорэтан	-350,82	-100,12	-451,73	-0,79
N,N-Диметилформамид	-350,92	-100,33	-451,79	-0,54
ДМСО	-350,93	-100,36	-451,80	-0,51

Рис. 3. Энергия связи кластерного катиона  $[\text{Mo}_3\text{S}_7(\text{Et}_2\text{dtc})_3]^+$  и внешнесферного аниона  $(\text{Et}_2\text{dtc})^-$  как функция диэлектрической проницаемости растворителя: бензол (1), хлороформ (2), дихлорметан (3), 1,2-дихлорэтан (4), N,N-диметилформамид (5), диметилсульфоксид (6), вакуум (○)



Т а б л и ц а 2  
Значения  $D$   
для разных мультиплетов  $\text{Et}_2\text{dtc}$   
в  $\text{ДМСО}-d_6$  и  $\text{CDCl}_3$

$\text{ДМСО}-d_6$		$\text{CDCl}_3$	
$\text{№}$	$D \times 10^{10}, \text{м}^2/\text{с}$	$\text{№}$	$D \times 10^{10}, \text{м}^2/\text{с}$
1	2,78	1	7,56
2	1,89	2	7,30
3	2,08	3	7,46
4	1,96	4	7,87
5	3,37		

вышает подвижность кластерного катиона. К такому же выводу приводит и сопоставление коэффициентов диффузии метильных протонов. Это означает, что внешнесферный анион перемещается независимо от кластерного катиона. Принципиально иная ситуация возникает в растворе  $\text{CDCl}_3$ , где для всех резонансных линий наблюдаются близкие коэффициенты диффузии со средним значением  $\bar{D} = (7,55 \pm 0,21) \cdot 10^{-10} \text{ м}^2/\text{с}$ , свидетельствующие об образовании контактных ионных пар, т.е. связанных комплексов  $\{\text{[Mo}_3\text{S}_7(\text{Et}_2\text{dtc})_3]\}(\text{Et}_2\text{dtc})$ . Базируясь на соотношении Стокса—Эйнштейна, можно оценить гидродинамический радиус ионной пары как  $r_H = kT/(6\pi\eta\bar{D})$  (здесь  $T$  — температура;  $\eta$  — вязкость растворителя). Полученное значение ( $\approx 5,8 \text{ \AA}$ ) находится в удовлетворительном согласии с величиной "радиуса"  $6,2 \text{ \AA}$ , оцененной из объема  $993 \text{ \AA}^3$  [9], занимаемого комплексом в твердой фазе.

Если предполагать, что геометрия ионной пары, зафиксированной в растворе  $\text{CDCl}_3$ , подобна строению комплекса в кристалле, в котором анион  $(\text{Et}_2\text{dtc})^-$  связан с кластерным катионом  $[\text{Mo}_3\text{S}_7(\text{Et}_2\text{dtc})_3]^+$  таким образом, что только один атом серы аниона  $(\text{Et}_2\text{dtc})^-$  образует укороченные контакты с тремя аксиальными атомами серы  $S_{ax}$  кластерного катиона, то следует ожидать неэквивалентности этильных групп этого аниона. Согласно проведенным нами расчетам химических сдвигов, ожидаемое расщепление сигналов ЯМР протонов  $\text{CH}_2$ -групп составляет

ний диффузионной подвижности координированных к металлу и внешнесферных лигандов  $(\text{Et}_2\text{dtc})^-$ . Использование для этих целей резонансных линий метильных протонов представляется более проблематичным, так как линии терминальных и внешнесферного анионов сравнительно неплохо разрешаются только в ДМСО (линии 4 и 5 соответственно), в то время как в  $\text{CDCl}_3$  триплеты  $\text{CH}_3$ -групп всех анионов существенно перекрываются в узкой области 1,26—1,35 м.д. (линия 4).

Спектры DOSY представлены в нижней части рис. 4; значения коэффициентов диффузии приведены в табл. 2. Исходя из значений, полученных для мультиплетов в метиленовой области, можно заключить, что в ДМСО диффузионная подвижность внешнесферного аниона примерно в полтора раза пре-

восходит подвижность кластерного катиона. К такому же выводу приводит и сопоставление коэффициентов диффузии метильных протонов. Это означает, что внешнесферный анион перемещается независимо от кластерного катиона. Принципиально иная ситуация возникает в растворе  $\text{CDCl}_3$ , где для всех резонансных линий наблюдаются близкие коэффициенты диффузии со средним значением  $\bar{D} = (7,55 \pm 0,21) \cdot 10^{-10} \text{ м}^2/\text{с}$ , свидетельствующие об образовании контактных ионных пар, т.е. связанных комплексов  $\{\text{[Mo}_3\text{S}_7(\text{Et}_2\text{dtc})_3]\}(\text{Et}_2\text{dtc})$ . Базируясь на соотношении Стокса—Эйнштейна, можно оценить гидродинамический радиус ионной пары как  $r_H = kT/(6\pi\eta\bar{D})$  (здесь  $T$  — температура;  $\eta$  — вязкость растворителя). Полученное значение ( $\approx 5,8 \text{ \AA}$ ) находится в удовлетворительном согласии с величиной "радиуса"  $6,2 \text{ \AA}$ , оцененной из объема  $993 \text{ \AA}^3$  [9], занимаемого комплексом в твердой фазе.

Если предполагать, что геометрия ионной пары, зафиксированной в растворе  $\text{CDCl}_3$ , подобна строению комплекса в кристалле, в котором анион  $(\text{Et}_2\text{dtc})^-$  связан с кластерным катионом  $[\text{Mo}_3\text{S}_7(\text{Et}_2\text{dtc})_3]^+$  таким образом, что только один атом серы аниона  $(\text{Et}_2\text{dtc})^-$  образует укороченные контакты с тремя аксиальными атомами серы  $S_{ax}$  кластерного катиона, то следует ожидать неэквивалентности этильных групп этого аниона. Согласно проведенным нами расчетам химических сдвигов, ожидаемое расщепление сигналов ЯМР протонов  $\text{CH}_2$ -групп составляет

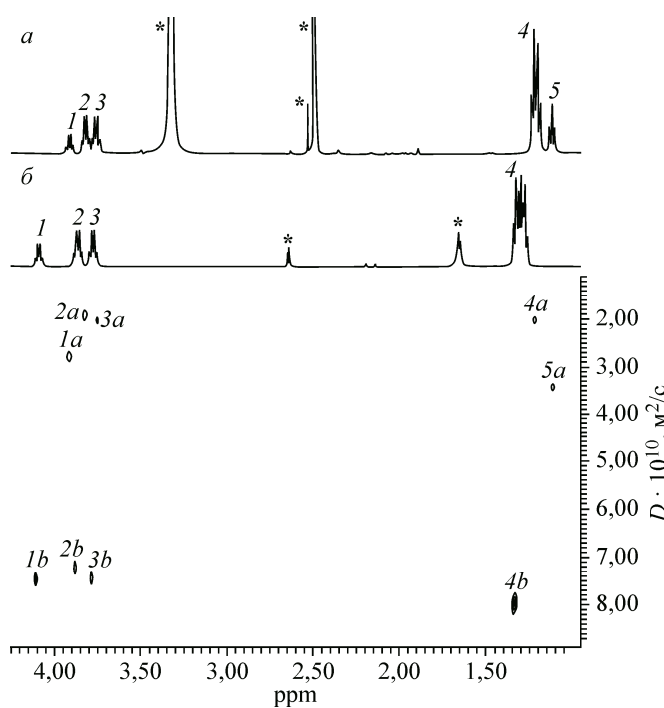


Рис. 4. Вверху: спектры ЯМР  $^1\text{H}$  комплекса  $[\text{Mo}_3\text{S}_7(\text{Et}_2\text{dtc})_3](\text{Et}_2\text{dtc})$  в  $\text{ДМСО}-d_6$  (а) и  $\text{CDCl}_3$  (б); звездочками отмечены примесные сигналы растворителей. Внизу: спектры DOSY ЯМР (обозначения отдельных точек соответствуют номерам мультиплетов в верхней части рисунка)

## ЗАКЛЮЧЕНИЕ

Проведенное исследование диффузионной подвижности дитиокарбаматного комплекса  $[\text{Mo}_3\text{S}_7(\text{Et}_2\text{dtc})_3](\text{Et}_2\text{dtc})$  позволило впервые обнаружить в растворе нейтральный кластерный ассоциат типа  $\{[\text{Mo}_3\text{S}_7(\text{LL})_3]^+\text{X}^-\}$ . Существование устойчивой ионной пары в низкополярном хлороформе и ее разрушение в высокополярном диметилсульфоксиде согласуется с результатами квантово-химических расчетов, согласно которым различие энергий связи кластерного катиона и внешнесферного аниона в этих растворителях составляет около 0,7 эВ.

Авторы благодарят д.х.н. А.В. Вировца и д.ф.-м.н. С.Г. Козлову за плодотворное обсуждение результатов работы.

## СПИСОК ЛИТЕРАТУРЫ

1. Федоров В.Е., Миронов Ю.В., Наумов Н.Г., Соколов М.Н., Федин В.П. // Успехи химии. – 2007. – **76**, № 6. – С. 571 – 595.
2. Llusar R., Vicent C. // Coord. Chem. Rev. – 2011. – **254**, N 14. – P. 1534.
3. Вировец А.В., Гуцин А.Л. и др. // Журн. структур. химии. – 2006. – **47**, № 2. – С. 332.
4. Gushchin A.L., Llusar R., Vicent C., Abramov P.A., Gómez-Garcia C.J. // Eur. J. Inorg. Chem. – 2013. – P. 2615 – 2622.
5. Recatalá D., Llusar R., Gushchin A.L., Kozlova E.A., Laricheva Y.A., Abramov P.A., Sokolov M.N., Gómez R., Lana-Villarreal T. // ChemSusChem. – 2015. – **8**. – P. 148 – 157.
6. Recatalá D., Llusar R., Galindo F., Brylev K.A., Gushchin A.L. // Eur. J. Inorg. Chem. – 2015. – P. 1877 – 1885.
7. Mayor-Lopez M.J., Weber J., Hegetschweiler K., Meienberger M., Joho F., Leoni S., Nesper R., Reiss G.J., Frank W., Kolesov B.A., Fedin V.P., Fedorov V.E. // Inorg. Chem. – 1998. – **37**. – P. 2633 – 2644.
8. Федин В.П., Соколов М.Н., Кибирев О.С., Вировец А.В., Подберезская Н.В., Федоров В.Е. // Журн. неорган. химии. – 1991. – **36**. – С. 3089 – 3095.
9. Zhu H.-P., Chen C.-N., Liu Q.-T., Chen J.-T. // Acta Cryst. – 1998. – **C54**. – P. 1273 – 1275.
10. Fedin V.P., Sokolov M.N., Geras'ko O.A., Virovets A.V., Podbereszkaya N.V., Fedorov V.Ye. // Inorg. Chim. Acta. – 1992. – **192**. – P. 153 – 156.
11. Pregosin P.S. // Pure Appl. Chem. – 2009. – **81** (4). – P. 615 – 633.
12. Reddy M.G.N., Ballesteros-Garrido R., Lacour J., Caldarelli S. // Angew. Chem. Int. Ed. – 2013. – **52**. – P. 3255 – 3258.
13. ADF2013, SCM, Theoretical Chemistry, Vrije Universiteit, Amsterdam, The Netherlands, <http://www.scm.com>. – Netherlands: Vrije Universiteit, 2013.
14. Van Lenthe E., Baerends E.J. // J. Comput. Chem. – 2003. – **24**. – P. 1142 – 1156.
15. Vosko S.H., Wilk L., Nusair M. // Can. J. Phys. – 1980. – **58**. – P. 1200 – 1211.
16. Becke A.D. // Phys. Rev. A. – 1988. – **38**. – P. 3098 – 3100.
17. Perdew J.P. // Phys. Rev. B. – 1986. – **33**. – P. 8822 – 8824. Erratum: – 1986. – **34**. – P. 7406.
18. Van Lenthe E., Ehlers A.E., Baerends E.J. // J. Chem. Phys. – 1999. – **110**. – P. 8943 – 8953.
19. Schreckenbach G., Ziegler T. // J. Phys. Chem. – 1995. – **99**. – P. 606 – 611.
20. Pye C.C., Ziegler T. // Theor. Chem. Acc. – 1999. – **101**. – P. 396 – 408.